

شناسایی نشانگرهای مولکولی پیوسته با ژن *Lr34/Yr18* و ارزیابی مقاومت به زنگ قهوه‌ای و زنگ زرد در ارقام و لاین‌های امید بخش گندم نان (*Triticum aestivum* L.)
Identification of molecular markers linked to *Lr34/Yr18* gene and evaluation of resistance to leaf rust and yellow rust in wheat (*Triticum aestivum* L.) cultivars and promising lines

حبیب‌اله قزوینی^۱، محسن سرهنگی^۲ و فرزاد افشاری^۳

چکیده

قزوینی، ح.، م. سرهنگی و ف. افشاری. ۱۳۹۷. شناسایی نشانگرهای مولکولی پیوسته با ژن *Lr34/Yr18* و ارزیابی مقاومت به زنگ قهوه‌ای و زنگ زرد در ارقام و لاین‌های امید بخش گندم نان (*Triticum aestivum* L.). مجله علوم زراعی ایران. ۲۰(۲): ۱۲۵-۱۰۸.

زنگ قهوه‌ای (*Puccinia triticina*) و زنگ زرد (*Puccinia striiformis*) از مهم‌ترین و رایج‌ترین بیماری‌های گندم در اغلب کشورهای جهان محسوب شده و نقش چشمگیری در کاهش محصول گندم دارند. انتقال ژن‌های مقاومت به ارقام گندم یکی از مؤثرترین و اقتصادی‌ترین روش‌های مبارزه با این بیماری‌ها است. یکی از ژن‌هایی که باعث القای مقاومت و پایداری مقاومت گیاه نسبت به زنگ قهوه‌ای و زرد گندم می‌شود، ژن *Lr34/Yr18* است. در سال‌های اخیر نشانگرهای مولکولی متعددی که با ژن *Lr34/Yr18* پیوستگی نزدیکی دارند، شناسایی شده‌اند. در این تحقیق، حضور ژن *Lr34/Yr18* در ۸۵ رقم و لاین امیدبخش گندم کشور در ارزیابی مزرعه‌ای و همچنین با استفاده از نشانگرهای مولکولی جدید مورد ارزیابی قرار گرفت. ارزیابی ژنوتیپ‌های گندم نسبت به عامل بیماری‌های زنگ زرد و زنگ قهوه‌ای به صورت مشاهده‌ای در سال ۱۳۹۳ به ترتیب در خزانه بیماری‌های بخش تحقیقات غلات کرج و ایستگاه گلستان اهواز انجام شد و ارقام و لاین‌های مورد بررسی به صورت مصنوعی آلوده‌سازی شدند. نتایج بررسی‌های مولکولی نشان داد که سه نشانگر جدید *caSNP4*، *caSNP12* و *CsSfr1*، دقت بیشتری نسبت به نشانگر *csLV34* در تشخیص ژن *Lr34/Yr18* دارند و به راحتی می‌توان از آنها در آزمایشگاه‌هایی با امکانات محدود استفاده کرد. بر اساس نتایج حاصل از نشانگرهای *caSNP4* و *caSNP12*، از مجموع ۸۵ ژنوتیپ گندم مورد بررسی در این تحقیق، آلل‌های پیوسته با ژن *Lr34/Yr18* در ۱۸ ژنوتیپ مشاهده شدند. مقایسه نتایج ارزیابی مزرعه‌ای با آزمایشات مولکولی نشان داد که اکثر ژنوتیپ‌های واجد ژن *Lr34* دارای واکنش‌های از نوع مقاوم و نیمه مقاوم تا نیمه حساس با شدت کم نسبت به زنگ قهوه‌ای و زنگ زرد بودند.

واژه‌های کلیدی: به‌نژادی مولکولی، بیماری زنگ، گزینش به کمک نشانگر، گندم، مقاومت گیاه بالغ و نشانگر هم بارز.

تاریخ دریافت: ۱۳۹۶/۱۰/۱۶ تاریخ پذیرش: ۱۳۹۷/۰۵/۰۳ این مقاله مستخرج از طرح تحقیقاتی مصوب موسسه تحقیقات اصلاح و تهیه نهال و بذر با شماره ۹۲۱۴۱-۰۳-۰۳-۲ می‌باشد.

۱- دانشیار پژوهش، مؤسسه تحقیقات اصلاح و تهیه نهال و بذر، کرج، سازمان تحقیقات آموزش و ترویج کشاورزی (مکاتبه کننده)

(پست الکترونیک: Habib_ghaz@yahoo.com)

۲- کارشناس ارشد، مؤسسه تحقیقات اصلاح و تهیه نهال و بذر، کرج، سازمان تحقیقات آموزش و ترویج کشاورزی

۳- استاد پژوهش، مؤسسه تحقیقات اصلاح و تهیه نهال و بذر، کرج، سازمان تحقیقات آموزش و ترویج کشاورزی

مقدمه

زنگ قهوه‌ای و زنگ زرد که به ترتیب توسط دو قارچ *Puccinia striiformis* و *Puccinia triticina* به وجود می‌آیند، از بیماری‌های مهم ایجاد افت محصول گندم در بیشتر نقاط دنیا از جمله ایران محسوب می‌شوند. در سال زراعی ۷۳-۱۳۷۲ با ظهور نژاد جدید زنگ زرد، مقاومت گندم رقم فلات با بیماری‌زایی این نژاد روی ژن مقاومت *Yr9* شکسته شد. با توجه به کشت گسترده رقم سازگار و پرمحصول فلات در مناطق وسیعی از کشور، پس از ظهور نژاد جدید زنگ زرد با قدرت بیماری‌زایی روی این رقم اپیدمی شدیدی در کشور رخ داد. بروز اپیدمی زنگ زرد در سال زراعی ۷۳-۱۳۷۲ در ایران باعث کاهش محصول گندم به میزان ۱/۵ میلیون تن شد (Torabi et al., 1995). بیماری زنگ قهوه‌ای نیز از مهم‌ترین بیماری‌های گندم در ایران محسوب می‌شود (Torabi et al., 2001). اگر چه میزان خسارت این بیماری نسبت به زنگ زرد و زنگ سیاه کمتر است، اما به دلیل فراوانی بیشتر و انتشار گسترده‌تر آن، در مجموع در سطح جهانی خسارت بیشتری به محصول گندم دنیا وارد می‌کند.

اگر چه کنترل شیمیایی زنگ گندم می‌تواند میزان خسارت بیماری به محصول گندم را کاهش دهد، اما در حال حاضر مؤثرترین و اقتصادی‌ترین روش مقابله با بیماری‌های گندم، استفاده از ارقام مقاوم است. تاکنون بیش از ۶۰ ژن مقاومت به زنگ قهوه‌ای و بیش از ۴۰ ژن مقاومت به زنگ زرد گندم شناسایی و در فهرست ژن‌های گندم قرار گرفته‌اند (McIntosh et al., 2008). اکثر ژن‌های مقاومت شناخته شده نسبت به نژادهای مختلف زنگ‌ها دارای مقاومت خاص نسبت به یک یا چند نژاد (Race specific resistance) بوده و به عنوان ژن‌های اصلی (Major genes) و دارای اثرات بزرگ محسوب می‌شوند (Singh et al., 2011). با این حال بر اثر فشار گزینش در بیماری‌زایی نژاد مولد زنگ، معمولاً بعد از چند سال مقاومت ارقام دارای ژن‌های

مقاومت اختصاصی، شکسته می‌شود. تکامل نژادهای جدید زنگ‌ها با استفاده از مهاجرت، جهش و نوترکیبی باعث ظهور ژنوتیپ‌های جدید با قدرت بیماری‌زایی جدید شده و خطر شیوع ناگهانی بیماری در یک منطقه را به همراه دارد (Caldwell, 1968). از این رو برای اصلاح گندم‌های مقاوم، همواره نیاز به جستجو برای پیدا کردن منابع جدید مقاومت و وارد کردن آن‌ها به ژنوتیپ‌های سازگار می‌باشد. یکی از مطمئن‌ترین روش‌های جلوگیری از اپیدمی‌های ناخواسته زنگ‌ها، استفاده از ژن‌هایی با مقاومت غیراختصاصی یا ژن‌های با اثرات کوچک (Minor genes) است. این ژن‌ها دارای خصوصیات مختلفی از قبیل مقاومت مؤثر در مرحله گیاه بالغ، تأخیر در پیشرفت بیماری (Slow rusting)، مقاومت نسبی به بیماری (Partial resistance)، مقاومت غیراختصاصی (Non-race specific resistance) و دارای اثرات افزایشی کوچک تا متوسط هستند (Singh et al., 2011). در ژن‌های غیراختصاصی، مقاومت به زنگ‌ها در اثر تأخیر در پیشرفت بیماری ایجاد می‌شود که به عنوان مقاومت پایدار (Durable resistance) نیز شناخته می‌شود و سازوکار این مقاومت از واکنش ژن در مقابل ژن که در ژن‌های اختصاصی دیده می‌شود، متفاوت است (Lowe et al., 2011). اگر چه ژن‌های غیراختصاصی مقاومت کوچک تا متوسطی را به ارقام می‌دهند، ولی وقتی تعداد چهار تا پنج ژن کوچک اثر با هم در یک رقم جمع شوند، سطح بسیار خوبی از مقاومت به زنگ‌ها در میزبان بوجود می‌آید (Singh et al., 2000). امروزه ژن‌های متعددی که عامل ایجاد مقاومت غیراختصاصی هستند، شناسایی شده و در بسیاری از برنامه‌های اصلاحی گندم در نقاط مختلف دنیا، خصوصاً در مرکز بین‌المللی تحقیقات گندم و ذرت (CIMMYT) مورد استفاده قرار می‌گیرند. از جمله ژن‌های کوچک‌اثر که در حال حاضر

کردند (Lagudah *et al.*, 2006). هم بارز بودن این نشانگر و تولید باندهای واضح و قابل نمره‌دهی، به اضافه سهولت کار با آن به دلیل تفاوت ۸۰ بازوی اندازه آلل‌های پیوسته با مقاومت و آلل حساسیت و همچنین استفاده از ژل آگارز برای جداسازی باندها، از دلایل محبوبیت این نشانگر در ارزیابی حضور ژن *Lr34* در ارقام گندم می‌باشد. کراتینگر و همکاران (Krattinger *et al.*, 2009) قطعه ژنومی با طول ۰/۱۵ سانتی مورگان را که در برگیرنده ژن *Lr34* بود را کلون و توالی‌یابی نموده و گزارش کردند که قطعه مذکور در برگیرنده شش ژن مختلف است که از بین آن‌ها تنها یک ژن کدکننده پروتئین ناقل غشایی بنام ABC (ATP-binding cassette) به عنوان بهترین کاندیدا برای ژن *Lr34* بود. این ژن یک قطعه ۱۱۸۰۵ نوکلئوتیدی است که شامل ۲۴ اگزون بوده و در مجموع یک پروتئین انتقال‌دهنده با ۱۴۰۱ اسید آمینه را تولید می‌کند. اگرچه قبل از کلون کردن کامل ژن *Lr34* و توالی‌یابی آن نیز نشانگرهای مولکولی نزدیکی برای این ژن شناسایی شده بودند، ولی یافته‌های اخیر باعث تسریع در طراحی آغازگرهای مناسب برای تکثیر قطعاتی از این ژن به عنوان نشانگرهای مولکولی کاملاً پیوسته با این ژن گردید. لاگودا و همکاران (Lagudah *et al.*, 2009) نشانگرهای سری *Cssfr* را که فاصله نزدیکتری را با ژن *Lr34* داشتند معرفی کردند. داکوری و همکاران (Dakouri *et al.*, 2010) نیز نشانگرهای سری *cam*، *caIND* و *caSNP* را که از نشانگر *csLV34* به ژن *Lr34* نزدیک‌تر بودند، معرفی کردند.

این تحقیق با هدف ارزیابی حضور ژن *Lr34* در تعدادی از ارقام و لاین‌های امیدبخش گندم کشور با استفاده از نشانگرهای مولکولی و انتخاب بهترین نشانگرها بر اساس مقایسه نتایج حاصل از هر کدام از آنها و سهولت کار با آن‌ها در آزمایشگاه با امکانات محدود انجام شد.

به میزان بسیار زیادی مورد استفاده قرار می‌گیرند *Lr46/Yr29/Pm39*، *Lr34/Yr18/Sr57/Pm38* و *Lr67/Yr46* برای مقاومت به زنگ قهوه‌ای، زنگ زرد و سفیدک حقیقی هستند (Hiebert *et al.*, 2010; Herrera-Foessel *et al.*, 2011; Dyck, 1987; Singh *et al.*, 1998; William *et al.*, 2003). این سه ژن با ژن مؤثر در سوختگی نوک برگ پیوستگی نشان داده‌اند (Singh *et al.*, 2011). از میان این ژن‌ها، ژن *Lr34* که یکی از مؤثرترین ژن‌های کنترل کننده زنگ قهوه‌ای و زرد است، به عنوان ژن *Yr18* نیز شناخته شده و تلاش‌های زیادی برای مکان‌یابی دقیق آن انجام شده است (Spielmeyer *et al.*, 2005; Dakouri *et al.*, 2010; Kolmer *et al.*, 2008; Krattinger *et al.*, 2009; Lagudah *et al.*, 2009). این ژن همچنین مقاومت به زنگ زرد را کنترل نموده و ژن *Yr18* همراه با سایر ژن‌های مقاومت، به عنوان منبع مناسبی برای مقاومت به زنگ زرد در اکثر کشورها مورد استفاده قرار گرفته و از مقاومت آن تحت عنوان *Yr18* complex نام برده می‌شود (Singh and Rajaram, 1992). اخیراً مقاومت به زنگ سیاه در گیاه بالغ گندم (*Sr57*) نیز به ژن مزبور نسبت داده شده است (Yu *et al.*, 2014). نتایج بررسی‌های اولیه نشان داد که ژن مقاومت به زنگ قهوه‌ای *Lr34* روی بازوی کوچک کروموزوم 7D گندم قرار گرفته است (Dyck, 1987). هم‌زمان با کشف و گسترش استفاده از نشانگرهای مولکولی در دهه‌های گذشته، در سال‌های اخیر نشانگرهای مولکولی پیوسته-ای برای این ژن شناسایی شده‌اند که ابزار مؤثری برای استفاده در برنامه‌های اصلاحی گندم دنیا از طریق گزینش با استفاده از نشانگرها (MAS) محسوب می‌شود (Dakouri *et al.*, 2010; Kolmer *et al.*, 2008; Krattinger *et al.*, 2009; Lagudah *et al.*, 2009).

با معرفی نشانگر *csLV34* در سال ۲۰۰۶، تعداد زیادی از محققان برای بررسی حضور ژن *Lr34* در ارقام گندم مناطق مختلف دنیا از این نشانگر استفاده

مواد و روش‌ها

در پژوهش حاضر، واکنش ۸۵ ژنوتیپ گندم شامل تعدادی از ارقام تجاری، لاین‌های امیدبخش و لاین‌های کاندید معرفی شده برای اقلیم‌های سرد و معتدل کشور (جدول ۱) (در شرایط آبیاری متداول، تنش خشکی انتهای فصل و تنش شوری)، نسبت به بیماری‌های زنگ زرد و زنگ قهوه‌ای در مرحله گیاه بالغ انجام شد و حضور ژن مقاومت گیاه بالغ *Lr34* در این ژنوتیپ‌ها با استفاده از نشانگرهای مولکولی مورد ارزیابی قرار گرفت.

ارزیابی ژنوتیپ‌های گندم نسبت به عامل بیماری‌های زنگ زرد و زنگ قهوه‌ای، با کشت بذر آنها روی دو خط یک متری روی یک پشته، به ترتیب در خزانه بیماری‌های بخش تحقیقات غلات کرج و ایستگاه گلستان اهواز انجام شد. در ابتدا و انتهای آزمایش و نیز به فاصله هر ۱۰ لاین، رقم حساس به بیماری بولانی کاشته شد. به منظور تولید انبوه زادمایه (اینوکلوم) زنگ زرد جدایه کرج و زنگ قهوه‌ای جدایه اهواز، بذرهای رقم بولانی بصورت توده‌ای در گلدان‌های محتوی خاک معمولی کاشته شده و پس از ۱۰ روز که برگ اول گیاهچه‌ها بطور کامل ظاهر شد، ضمن مرطوب کردن برگ‌ها با محلول حاوی روغن توئین (یک قطره Tween20 در یک لیتر آب)، گیاهچه‌ها با استفاده از محلول پاش دستی یا قلم مو، به صورت جداگانه با قارچ عامل بیماری زنگ زرد و زنگ قهوه‌ای (به نسبت ۱ و ۴ با پودر تالک؛ یک قسمت اسپور زنگ و چهار قسمت پودر تالک) مخلوط و مایه زنی شدند. مجدداً روی گیاهچه‌ها مه‌پاشی شده و گیاهچه‌هایی که با اسپور زنگ زرد مایه زنی شده بودند، بعد از قرار دادن در پوش‌های پلاستیکی روی گلدان‌ها، به مدت ۲۴ ساعت در شرایط مرطوب در اتاق سرد (۱۰ درجه سلسیوس) در تاریکی قرار داده شده و پس از آن به گلخانه با دمای ۱۸ درجه سلسیوس و دوره نوری ۱۶ ساعت (۱۵-۱۰ هزار لوکس) و هشت

ساعت تاریکی منتقل شدند. گیاهچه‌هایی که با اسپور زنگ قهوه‌ای مایه زنی شده بودند، پس از مه‌پاشی مجدد و گذاشتن در پوش‌های پلاستیکی برای حفظ رطوبت، به مدت ۲۴ ساعت در دمای ۱۸ درجه سلسیوس در تاریکی قرار داده شده و سپس به گلخانه با دمای ۲۲ درجه سلسیوس و دوره نوری ۱۶ ساعت (۱۵-۱۰ هزار لوکس) روشنایی و هشت ساعت تاریکی منتقل شدند. از روز پانزدهم پس از مایه زنی، هر سه روز یک بار اقدام به جمع آوری و نگهداری اسپور از گلدان‌ها شد. این کار تا زمان از بین رفتن گیاهچه‌ها در گلدان‌ها ادامه یافت. مایه زنی مصنوعی خزانه‌های زنگ زرد و زنگ قهوه‌ای بصورت جداگانه در ایستگاه‌های آزمایشی به ترتیب با استفاده از جدایه کرج و جدایه اهواز (بصورت مخلوطی از اسپور زنگ و پودر تالک) با استفاده از سمپاش پستی اتومایزر از مرحله پنجه‌زنی شروع و تا زمان ظهور برگ پرچم (سه بار) انجام شد. یادداشت برداری از بیماری در مرحله ظهور برگ پرچم و حتی الامکان پس از رسیدن میزان بیماری رقم حساس (موروکو) به حد نهایی از طریق تعیین درصد پوشش آلوده سطح برگ (۱۰۰-۰) بر اساس روش اصلاح شده کاب (Peterson *et al.*, 1948) (The modified Cobb's scale) انجام شد.

استخراج DNA جهت استفاده در واکنش زنجیره‌ای پلیمرز (PCR) از برگ‌های سالم و غیر آلوده گیاهان مورد بررسی و بر اساس روش CTAB (Saghai-Marooft *et al.*, 1984) با کمی تغییرات انجام شد. ارزیابی کمیت و کیفیت DNA با استفاده از دستگاه اسپکتروفوتومتر (Wi53711, Thermo Electron Corporation, USA) در طول موج‌های ۲۶۰ و ۲۸۰ نانومتر و الکتروفورز DNA استخراج شده در ژل آگارز ۰/۸ درصد انجام شد. غلظت DNA ژنوتیپ‌های مختلف برای استفاده در PCR با استفاده از آب دو بار تقطیر شده استریل، به میزان ۲۵ نانوگرم در میکرولیتر تنظیم

"شناسایی نشانگرهای مولکولی پیوسته با ژن..."

جدول ۱- واکنش ارقام و لاین‌های گندم مورد ارزیابی نسبت به زنگ زد و قهوه‌ای در مزرعه و وضعیت آللی نشانگرهای پیوسته با ژن *Lr34*

Table 1. Reaction of studied wheat cultivars/lines to yellow rust and leaf rust in the field and their amplified alleles with linked *Lr34* primers

| ردیف No. | کد برنامه به زوادی Breeding program code | شجره Pedigree | واکنش به زنگ زد Reaction to yellow rust | | واکنش به زنگ قهوه‌ای Reaction to leaf rust | | وضعیت آللی نشانگرهای پیوسته با ژن <i>Lr34</i> Alleles of linked <i>Lr34</i> primers | | | |
|-------------|--|---|---|-------|---|-------|--|--------|---|---|
| | | | Karaj | Ahvaz | snp4 | snp12 | cssf1 | csLV34 | | |
| 1 | ER-90-3 | Pishtaz//Lov24/Coc 75 | 5MR* | 10MS | 0 | 0 | 0 | 0 | 0 | 0 |
| 2 | ER-90-4 | Pishtaz//Lov24/Coc 75 | 5R | 0 | 0 | 0 | 0 | 0 | 0 | 0 |
| 3 | ER-90-5 | Pishtaz//Jup/Bjy "s"//Kauz"s" | 5R | 0 | 0 | 0 | 0 | 0 | 0 | 0 |
| 4 | ER-90-6 | Pishtaz//Falat/Barakat | 5MR | 40MS | 0 | 0 | 0 | 0 | 0 | 0 |
| 5 | ER-90-7 | Bow"s//Vee"s//1-60-3/3/Cocoraque 75/4/Chamran | 10MR | 0 | 0 | 0 | 0 | 0 | 0 | 0 |
| 6 | ER-90-8 | 4771//Fkn/Gb/3/Vee "s"/Vee "s"/4/Buc "s"/5/1-66-44/6... | 0 | 0 | 0 | 0 | 0 | 0 | 0 | 0 |
| 7 | ER-90-9 | IR/FR (Aldric) | 0 | 0 | 0 | 0 | 0 | 0 | 0 | 0 |
| 8 | ER-90-10 | IR/FR (FD03142) | 0 | 0 | 0 | 0 | 0 | 0 | 0 | 0 |
| 9 | ER-90-11 | PFAU/MILAN/FISCAL | 30R | 5MS | 0 | 0 | 0 | 0 | 0 | 0 |
| 10 | ER-90-12 | Gv/Aid "s"/5/Aid "s"/4/Bb/Gll/Cno.../6/Marv | 5R | 5MS | 1 | 1 | 1 | 1 | 1 | 1 |
| 11 | ER-90-13 | NAC/TH.AC/3*PVN/3/MIRLO/BUC/4/2*PASTOR | 10R | 0 | 0 | 0 | 0 | 0 | 0 | 0 |
| 12 | ER-90-14 | VORB/FISCAL | 5R | 0 | 0 | 0 | 0 | 0 | 0 | 0 |
| 13 | ER-90-15 | PRL/2*PASTOR | 10MR | 40MS | 0 | 0 | 0 | 0 | 0 | 0 |
| 14 | ER-90-16 | SHARP/3/PRL/SARA//TSI/VEE#5/5/VEE/LIRA//... | 5R | 0 | 0 | 0 | 0 | 0 | 0 | 0 |
| 15 | ER-90-17 | WAXWING*2/TUKURU | 5R | 0 | 0 | 0 | 0 | 0 | 0 | 0 |
| 16 | ER-90-18 | WBL1*2/BRAMBLING | 10MR | 0 | 0 | 0 | 0 | 0 | 0 | 0 |
| 17 | WS-86-14 | KAUZ/PASTOR | 0 | 0 | 1 | 1 | 1 | 1 | 1 | 1 |
| 18 | WS-87-15 | PBW343*2/KUKUNA | 0 | 0 | 1 | 1 | 1 | 1 | 1 | 1 |
| 19 | WS-88-6 | Alvd/Aldan/Ias*2/3/Bez | 0 | 10MS | 0 | 0 | 0 | 0 | 0 | 0 |
| 20 | WS-88-13 | WAXWING*2/KIRITATI | 50MS | 0 | 0 | 0 | 0 | 0 | 0 | 0 |
| 21 | M-87-16 | KAUZ//ALTAR 84/AOS/3/PASTOR | 0 | 5R | 0 | 0 | 0 | 0 | 0 | 0 |
| 22 | M-88-10 | Alvd/Aldan/Ias*2/3/Bez | 0 | 40MS | 0 | 0 | 0 | 0 | 0 | 0 |
| 23 | M-88-16 | Alvand//Aldan/Ias/3/1-73-240/4/Alamoot | 20MR | 10MS | 0 | 0 | 0 | 0 | 0 | 0 |
| 24 | Ms-87-8 | 1-66-22/3/Alvd//Aldan/Ias | 20MR | 30MS | 0 | 0 | 1 | 1 | 1 | 1 |
| 25 | Ms-87-9 | Desprez80/Rsh//1-66-22/Inia | 0 | 30MS | 0 | 0 | 1 | 1 | 1 | 1 |
| 26 | Ms-88-8 | 1-66-22/Passarinho/3/Vee/Nac//1-66-22 | 0 | 30MS | 1 | 1 | 1 | 1 | 1 | 1 |
| 27 | Ms-88-16 | Alborz/5/K62909/4/Cno//K58/Tob/3/Wa/5/Chen... | 0 | 0 | 1 | 1 | 1 | 1 | 1 | 1 |
| 28 | Ms-89-4 | Mm/Catbird | 0 | 0 | 1 | 1 | 1 | 1 | 1 | 1 |
| 29 | Ms-89-6 | Alvd//Aldan/Ias 58/3/Kvr | 0 | 0 | 1 | 1 | 1 | 1 | 1 | 1 |
| 30 | Ms-89-7 | Gv/D630//Ald"s"/3/Azd/4/Rsh/5/Kauz/Stm | 10MR | 30MS | 1 | 1 | 1 | 1 | 1 | 1 |
| 31 | Ms-89-8 | Chamran/Kavir | 0 | 30MS | 0 | 0 | 1 | 1 | 1 | 1 |
| 32 | Ms-89-10 | T.AestxTi(La(FrkaLxGb))=(1-66-22)/5/Kauz*2/... | 0 | 0 | 0 | 0 | 0 | 0 | 0 | 0 |
| 33 | Ms-89-11 | T.AestxTi(La(FrkaLxGb))=(1-66-22)/5/SNH.9 | 0 | 30MS | 0 | 0 | 0 | 0 | 0 | 0 |
| 34 | Ms-89-12 | Atrak/3/Chen/Aeg.sq(Taus)/BCN CMBW98... | 0 | 0 | 1 | 1 | 1 | 1 | 1 | 1 |
| 35 | Ms-89-13 | Kauz*2/Opata//Kauz/3/Sakha 8/4/Tam 200 | 0 | 30MS | 1 | 1 | 1 | 1 | 1 | 1 |
| 36 | ER-C-90-4 | Zm/Shiroodi/6/Zm/5/Omid/4/Bb/Kal//Ald/3/... | 5MR | 40MS | 0 | 0 | 0 | 0 | 0 | 0 |
| 37 | ER-C-90-5 | Owl/Kavir/3/Owl//Vee/Nac | 5R | 70MS | 0 | 0 | 0 | 0 | 0 | 0 |
| 38 | ER-C-90-6 | Shi4414/Crow"s//V82187/T.aest/5/Ti/4/La/3/Fr... | 10MR | 0 | 0 | 0 | 0 | 0 | 0 | 0 |
| 39 | ER-C-90-7 | Rsh/Tam200//Alvd | 0 | 60MS | 0 | 0 | 0 | 0 | 0 | 0 |
| 40 | ER-C-90-8 | Alvd//Aldan"s//IAS58/3/MV17/5/Kal/Bb//Cj"s"... | 0 | 0 | 0 | 0 | 0 | 0 | 0 | 0 |
| 41 | ER-C-90-9 | Akn/81-130ks73h530//Vee/3/Novosadska | 0 | 70MS | 1 | 1 | 1 | 1 | 1 | 1 |
| 42 | ER-C-90-10 | Alpu | 10MR | 0 | 1 | 1 | 1 | 1 | 1 | 1 |
| 43 | ER-C-90-11 | Eudiele | 5R | 70MS | 0 | 0 | 0 | 0 | 0 | 0 |
| 44 | ER-C-90-12 | Aldric | 5R | 0 | 0 | 0 | 0 | 0 | 0 | 0 |
| 45 | ER-C-90-13 | Fioreetto | 5R | 0 | 0 | 0 | 0 | 0 | 0 | 0 |
| 46 | ER-C-90-14 | Fdo 11042 | 5R | 50MS | 0 | 0 | 0 | 0 | 0 | 0 |
| 47 | C-85-3 | Chk"s//Bow"s//90Zhcong87/3/Shiroodi | 0 | 0 | 0 | 0 | 0 | 0 | 0 | 0 |
| 48 | C-85-6 | MV17/Zm | 0 | 10MS | 0 | 0 | 0 | 0 | 0 | 0 |
| 49 | C-86-3 | Bloudan/3/Bb/7c*2//Y5OE/3*Kal/4/MV17 | 0 | 60MS | 0 | 0 | 0 | 0 | 0 | 0 |
| 50 | C-86-5 | Yan 7578.128//Chil/2*Stan | 0 | 10MS | 0 | 0 | 0 | 0 | 0 | 0 |
| 51 | C-86-6 | Yan 7578.128//Chil/2*Stan | 0 | 10MS | 0 | 0 | 0 | 0 | 0 | 0 |
| 52 | C-87-6 | Alvd//Aldan/Ias*2/3/Gaoland | 10MR | 0 | 0 | 0 | 0 | 0 | 0 | 0 |
| 53 | C-87-11 | Bazzwood/MV17 | 0 | 40MS | 0 | 0 | 0 | 0 | 0 | 0 |
| 54 | C-87-12 | Bazzwood/MV17 | 0 | 70MS | 0 | 0 | 0 | 0 | 0 | 0 |
| 55 | C-87-18 | Bilinmayen-6 | 0 | 0 | 1 | 1 | 1 | 1 | 1 | 1 |
| 56 | C-88-4 | Gaocogan/Cal.no.3625//Alboot | 0 | 90MS | 0 | 0 | 0 | 0 | 0 | 0 |
| 57 | C-88-13 | Gds/4/Anza/3/Pi/nan//Hys/5/Vee/Nac/6/... | 0 | 20MS | 0 | 0 | 0 | 0 | 0 | 0 |
| 58 | C-88-14 | Gds/4/Anza/3/Pi/nan//Hys/5/Vee/Nac/6/... | 0 | 10MS | 0 | 0 | 0 | 0 | 0 | 0 |
| 59 | C-89-6 | Fdo2062 | 0 | 0 | 0 | 0 | 0 | 0 | 0 | 0 |
| 60 | C-89-7 | Zm*2/Gazland | 0 | 70MS | 0 | 0 | 0 | 0 | 0 | 0 |
| 61 | C-89-15 | Fdo4085 | 0 | 0 | 0 | 0 | 0 | 0 | 0 | 0 |
| 62 | - | Parsi | 20MR | 0 | 0 | 0 | 0 | 0 | 0 | 0 |
| 63 | - | Sivand | 50MS | 70MS | 0 | 0 | 0 | 0 | 0 | 0 |
| 64 | - | Sirvan | 20MR | 0 | 0 | 0 | 0 | 0 | 0 | 0 |
| 65 | - | Pishtaz | 0 | 0 | 0 | 0 | 0 | 0 | 0 | 0 |
| 66 | - | Morvarid | 0 | 0 | 0 | 0 | 0 | 0 | 0 | 0 |
| 67 | - | Soisson | 0 | 10MS | 0 | 0 | 0 | 0 | 0 | 0 |
| 68 | - | Gascogen | 0 | 0 | 0 | 0 | 0 | 0 | 0 | 0 |
| 69 | - | Gaspard | 0 | 10MS | 0 | 0 | 0 | 0 | 0 | 0 |
| 70 | - | Baz | 60MS | 0 | 0 | 0 | 0 | 0 | 0 | 0 |
| 71 | - | MV-17 (Lr34/Yr18) | 10MR | 0 | 1 | 1 | 1 | 1 | 1 | 1 |
| 72 | - | Oroum | 5MR | 0 | 0 | 0 | 0 | 0 | 0 | 0 |
| 73 | - | Zareh | 10MR | 5MR | 1 | 1 | 1 | 1 | 1 | 1 |
| 74 | - | Mihan | 5R | 70MS | 0 | 0 | 0 | 0 | 0 | 0 |
| 75 | - | Sorkhtokhm | 100S | 0 | 0 | 0 | 0 | 0 | 0 | 0 |
| 76 | - | Chamran | 70MS | 0 | 0 | 0 | 0 | 0 | 0 | 0 |
| 77 | - | Falat | 80MS | 0 | 0 | 0 | 0 | 0 | 0 | 0 |
| 78 | - | Darab#2 | 60MS | 0 | 1 | 1 | 1 | 1 | 1 | 1 |
| 79 | - | Bam | 0 | 0 | 1 | 1 | 1 | 1 | 1 | 1 |
| 80 | - | Sistan | 0 | 40MS | 1 | 1 | 1 | 1 | 1 | 1 |
| 81 | - | Arg | 0 | 0 | 0 | 0 | 1 | 1 | 1 | 1 |
| 82 | - | Moghan 3 | 70MS | 0 | 0 | 0 | 0 | 0 | 0 | 0 |
| 83 | - | Shiroodi | 90S | 0 | 0 | 0 | 0 | 0 | 0 | 0 |
| 84 | - | Shiraz | 90S | 70MS | 0 | 0 | 0 | 0 | 0 | 0 |
| 85 | - | Morocco (Suc. Check) | 100S | 80S | 0 | 0 | 0 | 0 | 0 | 0 |
| جمع | | | | | 18 | 18 | 22 | 23 | | |

* R: Resistant; MR: Moderately resistant; MS: Moderately susceptible; S: Susceptible

همکاران (Dakouri *et al.*, 2010)، توالی آغازگرهای مورد استفاده و دمای اتصال آغازگرها در واکنش زنجیره‌ای پلیمرز در جدول ۲ ارائه شده است.

واکنش زنجیره‌ای پلیمرز براساس روش لاگودا و همکاران (Lagudah *et al.*, 2006 & 2009) و داکوری و همکاران (Dakouri *et al.*, 2010) در حجم ۲۰ میکرولیتر برای هر واکنش با استفاده از PCR Buffer (1X)، آغازگرهای مورد نظر (۲۰۰ نانومول)، آنزیم تک‌پلیمرز (یک واحد)، dNTPs به میزان ۰/۲ میلی‌مول، MgCl₂ به میزان دو میلی‌مول و DNA به میزان ۵۰ نانوگرم برای هر واکنش انجام شد. برنامه حرارتی PCR به صورت یک چرخه واسرشته سازی اولیه در دمای ۹۴ درجه سلسیوس به مدت سه دقیقه، ۳۵ چرخه شامل مراحل واسرشته سازی در دمای ۹۴ درجه سلسیوس به مدت ۴۵ ثانیه، مرحله اتصال ۵۵ درجه سلسیوس برای آغازگر csLV34، مرحله اتصال ۵۸ درجه سانتی‌گراد (در مورد همه آغازگرهای ریزماهواره cam و caIND11 و آغازگرهای Ccssfr) یا مرحله اتصال ۶۵ درجه سانتی‌گراد (برای آغازگرهای caSNP4 و caSNP12) به مدت ۳۰ ثانیه و مرحله بسط در دمای ۷۲ درجه سلسیوس به مدت یک دقیقه و در خاتمه بسط نهایی در دمای ۷۲ درجه سلسیوس به مدت ۱۰ دقیقه تنظیم گردید. پس از اتمام چرخه‌ها، نمونه‌ها از دستگاه خارج و تا قبل از الکتروفورز در دمای ۲۰- درجه سانتی‌گراد نگهداری شدند. محصولات حاصل از PCR روی ژل آگارز دو درصد و با استفاده از الکتروفورز با ولتاژ ۱۰۰ ولت تفکیک شده و با استفاده از محلول اتیدیوم بروماید رنگ آمیزی و باندهای هر نمونه با اشعه ماورا بنفش در دستگاه ژل داکیومن (UVitech, England) عکس برداری شدند. تجزیه و تحلیل و امتیازبندی باندهای حاصل بر مبنای اندازه باندها در مقایسه با نشانگر وزنی به صورت صفر (عدم وجود باند) و یک (وجود باند) انجام شد.

شد. نشانگرهای مورد استفاده بر اساس نتایج مطالعات قبلی در رابطه با نشانگرهای مرتبط با ژن *Lr34* انتخاب شدند (Lagudah *et al.*, 2006; Lagudah *et al.*, 2009; Dakouri *et al.*, 2010):

الف- برای بررسی حضور یا عدم حضور ژن *Lr34* از یک نشانگر مولکولی مبتنی بر نقاط نشانمند از توالی (STS) استفاده شد (Lagudah *et al.*, 2006). نشانگر مولکولی مورد نیاز برای شناسایی ژن *Lr34* با پرایمری با نام STS-csLV34 تکثیر می‌شود. آلل پیوسته با مقاومت (*Lr34*⁺) با اندازه 150-bp و آلل نول (*Lr34*⁻) با اندازه 229-bp روی ژل آگارز ظاهر می‌شوند. توالی آغازگرهای مورد استفاده برای پرایمر STS-csLV34 و دمای اتصال آن در واکنش زنجیره‌ای پلیمرز در جدول ۲ نشان داده شده است.

ب- حضور یا عدم حضور ژن *Lr34* بر مبنای تفاوت توالی موجود بین آلل‌های مؤثر (*Lr34*⁺) و غیر مؤثر (*Lr34*⁻) و یا وجود و یا فقدان آلل‌های تعدادی از نشانگرهای مولکولی STS که توسط لاگودا و همکاران (Lagudah *et al.*, 2009) معرفی شده‌اند، مورد بررسی قرار گرفت. فهرست نشانگرهای جدید ارائه شده توسط لاگودا و همکاران (Lagudah *et al.*, 2009) برای تشخیص حضور ژن *Lr34*، توالی آغازگرهای مورد استفاده و دمای اتصال آغازگرها در واکنش زنجیره‌ای پلیمرز در جدول ۲ ارائه شده است.

ج- حضور یا عدم حضور ژن *Lr34* بر مبنای تفاوت توالی موجود بین آلل‌های *Lr34*⁺ و *Lr34*⁻ در ژنوتیپ‌ها همچنین با استفاده از تعدادی از نشانگرهای SSR سری cam، نشانگرهای SNP سری caSNP و نشانگرهای اختصاصی ژنی که توسط داکوری و همکاران (Dakouri *et al.*, 2010) معرفی شده و قدرت تشخیصی آن‌ها بیشتر از نشانگرهای قدیمی نظیر csLV34 عنوان شده، مورد بررسی قرار گرفت. فهرست نشانگرهای جدید مورد استفاده برای تشخیص حضور ژن *Lr34* در تحقیق انجام شده توسط داکوری و

"شناسایی نشانگرهای مولکولی پیوسته با ژن..."

جدول ۲- نام نشانگر، نام آغازگر، توالی آغازگر و دمای اتصال در واکنش زنجیره‌ای پلیمرز برای نشانگرهای پیوسته با ژن *Lr34* مورد استفاده برای ارقام و لاین‌های امیدبخش گندم
Table 2. Designation of the linked markers to *Lr34* gene, their forward and reverse primers, primer sequences and annealing temperatures in PCR for wheat lines and cultivars

| Marker | نشانگر | Primer | آغازگر | Primer sequence | توالی آغازگر | Annealing temperature (°C) | دمای اتصال | Reference | منبع |
|--------------------|--------|-------------|--------|--------------------------------|--------------|----------------------------|------------|------------------------------|------|
| STS-csLV34 | | csLV34F | | 5'- GTTGGTTAAGACTGGTGTATGG-3' | | 55 | | Lagudah <i>et al.</i> , 2006 | |
| | | csLV34R | | 5' - TGCTTGCTATTGCTGAATAGT-3' | | | | | |
| Cssfr1 | | L34DINT9F | | 5'-TTGATGAAACCAGTTTTTTTCTA-3' | | 58 | | Lagudah <i>et al.</i> , 2009 | |
| | | L34PLUSR | | 5'-GCCATTTAACATAATCATGATGGA-3' | | | | | |
| Cssfr2 | | L34DINT9F | | 5'-TTGATGAAACCAGTTTTTTTCTA-3' | | 58 | | Lagudah <i>et al.</i> , 2009 | |
| | | L34MINUSR | | 5'-TATGCCATTTAACATAATCATGAA-3' | | | | | |
| Cssfr5 (Multiplex) | | L34SPF | | 5'-GGGAGCATTATTTTTTCCATCATG-3' | | 58 | | Lagudah <i>et al.</i> , 2009 | |
| | | L34DINT13R2 | | 5'-ACTTTCCTGAAAATAATACAAGCA-3' | | | | | |
| | | L34DINT9F | | 5'-TTGATGAAACCAGTTTTTTTCTA-3' | | | | | |
| | | L34MINUSR | | 5'-TATGCCATTTAACATAATCATGAA-3' | | | | | |
| cam1 | | cam1F | | 5'-TGGCATGAGAAGAAAGCGTA-3' | | 58 | | Dakouri <i>et al.</i> , 2010 | |
| | | cam1R | | 5'-CCGCTACCGCAGTAATGTCT-3' | | | | | |
| cam2 | | cam2F | | 5'-GACAACAAACAGGACCTGGCACT-3' | | 58 | | Dakouri <i>et al.</i> , 2010 | |
| | | cam2R | | 5'-CACCCAAAGAGAAGGAACCA-3' | | | | | |
| cam11 | | cam11F | | 5'-CCAGGGTGCATCCCAAGTA-3' | | 58 | | Dakouri <i>et al.</i> , 2010 | |
| | | cam11R | | 5'-ACCGAAAGTGTTTTGGAGTG-3' | | | | | |
| cam16 | | cam16F | | 5'-ACAATGAATACCCTAGCAGAGC-3' | | 58 | | Dakouri <i>et al.</i> , 2010 | |
| | | cam16R | | 5'-CGAACGCGTGGTTGTCAT-3' | | | | | |
| cam23 | | cam23F | | 5'-CGGCCCTGAAAATCGTACT-3' | | 58 | | Dakouri <i>et al.</i> , 2010 | |
| | | cam23R | | 5'-CATGTATGGTGCCTGCTTGT-3' | | | | | |
| caIND11 | | caIND11F | | 5'-GTCTCCCAATCTGCATGCTC-3' | | 58 | | Dakouri <i>et al.</i> , 2010 | |
| | | caIND11R | | 5'-TACCTCCCAAAAAGCCAGTTG-3' | | | | | |
| caSNP4 | | caSNP4F | | 5'-GCGTTTCTGTCACCAGAAGT-3' | | 65 | | Dakouri <i>et al.</i> , 2010 | |
| | | caSNP4R | | 5'-AATAAACTCGCGCTCTTGA-3' | | | | | |
| caSNP12 | | caSNP12F | | 5'-TCCCCAGTTTAACCATCCTG-3' | | 65 | | Dakouri <i>et al.</i> , 2010 | |
| | | caSNP12R | | 5'-CATTCAGTCACCTCGCAGC-3' | | | | | |

نتایج و بحث

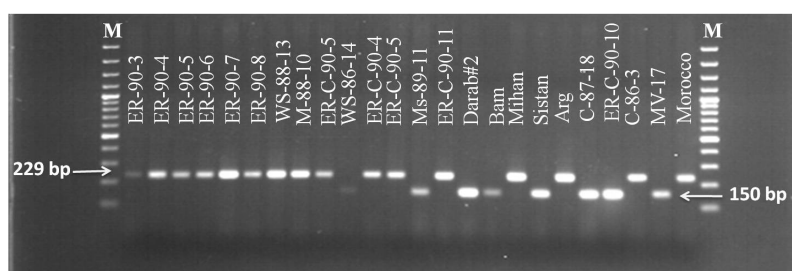
نتایج آزمایش مزرعه‌ای نشان داد که از ۸۵ ژنوتیپ گندم مورد ارزیابی، دو رقم شاهد موروکو و محلی سرخ‌تخم با 100S و ارقام شیروودی و شیراز با 90S دارای واکنش حساس، هفت ژنوتیپ با 50MS تا 80MS دارای واکنش نیمه‌حساس، ۱۷ ژنوتیپ با 5MR تا 20MR دارای واکنش نیمه مقاوم، ۱۴ ژنوتیپ با 5R تا 30R دارای واکنش مقاوم و ۴۳ ژنوتیپ دارای واکنش مصونیت (0) نسبت به زنگ زرد بودند (جدول ۱). واکنش‌های بسیار حساس 100S در رقم شاهد موروکو و رقم محلی سرخ‌تخم نشان دهنده استقرار خوب بیماری در خزانه زنگ زرد بود. در آزمایش ارزیابی واکنش مزرعه‌ای به زنگ قهوه‌ای در خزانه اهواز از ۸۵ ژنوتیپ مورد آزمایش، گندم شاهد رقم موروکو دارای واکنش 80S بود، در حالی که ۳۷ ژنوتیپ دارای واکنش نیمه حساس (5MS تا 90MS)، یک ژنوتیپ دارای واکنش نیمه مقاوم (5MR)، یک ژنوتیپ دارای واکنش مقاوم (5R) و ۴۵ ژنوتیپ دارای واکنش مصونیت (0) نسبت به زنگ قهوه‌ای بودند (جدول ۱). در این آزمایش نیز واکنش بسیار حساس (80S) در رقم شاهد موروکو، نشان دهنده استقرار خوب بیماری در خزانه زنگ قهوه‌ای بود. در مجموع ۲۰ ژنوتیپ دارای واکنش مصونیت نسبت به هر دو بیماری بودند. از ۲۵ ژنوتیپ که نسبت به بیماری زنگ قهوه‌ای واکنش مصونیت نشان دادند، نسبت به زنگ زرد مقاوم (۸ ژنوتیپ)، نیمه مقاوم (۹ ژنوتیپ)، نیمه حساس (۶ ژنوتیپ) و حساس (۲ ژنوتیپ) بودند. نتایج نشان داد که ۲۳ ژنوتیپ دارای واکنش مصونیت نسبت به زنگ زرد بوده ولی نسبت به زنگ قهوه‌ای واکنش‌های مقاوم تا نیمه حساس داشتند. در بین این ژنوتیپ‌ها فقط یک لاین واکنش مقاوم (5R) داشت و ۲۲ ژنوتیپ دیگر واکنش‌های نیمه حساس (10MS تا 90MS) داشتند (جدول ۱).

جهت بررسی حضور جایگاه ژنی *Lr34*، نشانگرهای

مولکولی *cam1*، *Cssfr5*، *Cssfr2*، *Cssfr1*، *csLV34*، *cam2*، *caSNP12*، *caSNP4*، *cam23*، *cam8*، *cam11*، *caIND11* مورد استفاده قرار گرفتند. به منظور آزمون حضور آلل مقاومت ژن *Lr34* در ژنوتیپ‌های مورد بررسی ابتدا با استفاده از پرایمرهای نشانگر مولکولی STS-*csLV34* اقدام به تکثیر آلل‌های پیوسته با این ژن گردید. آلل مقاومت (*Lr34*⁺) با اندازه ۱۵۰ bp و آلل غیر عامل (*Lr34*⁻) با اندازه ۲۲۹ bp روی ژل آگارز آشکار گردید (شکل ۱). از میان ۸۵ ژنوتیپ گندم مورد ارزیابی ۲۳ ژنوتیپ دارای آلل ۱۵۰ بازی بودند که نشان دهنده فراوانی خوب این آلل (۲۷ درصد) در بین لاین‌های امیدبخش و ارقام تجاری گندم نان کشور است (جدول ۱). دادرزایی و همکاران (Dadrezai et al., 2013) در آزمایشی روی ۱۳۰ ژنوتیپ گندم نان ایران، اظهار داشتند که آلل ۱۵۰ بازی در ۴۳ ژنوتیپ تکثیر شد که حدود ۳۳ درصد از کل ارقام و لاین‌های مورد ارزیابی بود. این یافته‌ها تایید کننده نتایج آزمایش حاضر در رابطه با حضور قابل ملاحظه آلل ۱۵۰ بازی نشانگر مولکولی STS-*csLV34* در ژنوتیپ‌های گندم مورد ارزیابی بود. با توجه به سهولت استفاده از نشانگر STS-*csLV34*، از سال ۲۰۰۶ و بعد از معرفی این نشانگر، تعداد زیادی از محققان برای بررسی حضور ژن *Lr34* در ارقام گندم استرالیا، کانادا، امریکا، ایران و مرکز بین‌المللی تحقیقات گندم و ذرت از این نشانگر استفاده نموده‌اند (Wu et al., 2010; Dadrezai et al., 2013; Kolmer et al., 2008; Yang et al., 2013). نو ترکیبی مشاهده شده بین این نشانگر و ژن *Lr34* در نتایج حاصل از برخی از ارقام گندم و همچنین نتایج غیرشفاف حاصل از قیاس ژنی (gene postulation)، ابهاماتی را در استفاده از این نشانگر بوجود آورده است (Kolmer et al., 2008; McCallum et al., 2008; Lagudah et al., 2009). با وجود قدرت خوب این نشانگر در تشخیص ژن *Lr34* در دامنه وسیعی از گندم‌های بررسی شده

و حضور این آلل در ۸۲/۱ درصد از این توده‌ها اثبات شد، به طوری‌که یک چهارم این توده‌ها واکنش بسیار حساسی به زنگ زرد در مزرعه نشان دادند. نکته قابل توجه در این تحقیق این بود که توالی باند ۱۵۰ بازی تکثیر شده در این توده‌ها کاملاً مشابه توالی قطعات DNA تکثیر شده در ارقام مقاوم بود (Wu *et al.*, 2010).

از نقاط مختلف دنیا، در برخی مطالعات درجه زیادی از خطای مثبت کاذب دیده شده است (Dakouri *et al.*, 2010; Lagudah *et al.*, 2009). به‌عنوان مثال در ارزیابی مقاومت توده‌های بومی گندم چین نسبت به زنگ زرد، تعداد ۱۵۱ توده بومی برای حضور آلل مقاومت در نشانگر STS-csLV34 (۱۵۰ bp) مورد ارزیابی قرار گرفت



شکل ۱- باندهای تکثیر شده توسط نشانگر csLV34 حاصل از الکتروفورز مربوط به تعدادی از ارقام و لاین‌های گندم مورد بررسی. M: مارکر وزنی ۱۰۰ bp و باندهایی که با فلش نشان داده شده‌اند، بیانگر آلل مؤثر $Lr34^+$ (۱۵۰ bp) و یا آلل غیر مؤثر $Lr34^-$ (۲۲۹ bp) هستند

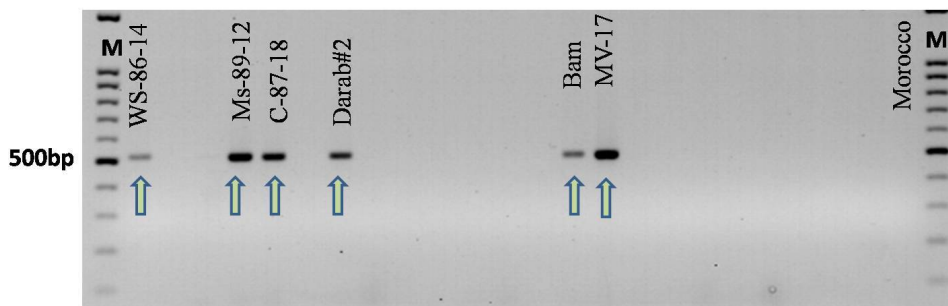
Fig. 1. Gel electrophoresis of DNA bands amplified using csLV34 marker in some of the studied wheat cultivars/lines. M: 100 bp molecular-weight size marker and amplified DNA bands for $Lr34^+$ (150 bp) and $Lr34^-$ (229 bp) are indicated by arrows

همساز (کلون) و توالی یابی اولیه ژن $Lr34$ در ارقام مقاوم و حساس نشان داد که دو پلی‌مورفیسم تک نوکلئوتیدی در اینترون ۴ و اگزون ۱۲ و یک قطعه حذف شده سه نوکلئوتیدی در اگزون ۱۱ ژن $Lr34$ در بین این ارقام مشاهده شد (Krattinger *et al.*, 2009). کلون کردن ژن $Lr34$ و توالی‌یابی ترتیب نوکلئوتیدی آن روی کروموزوم 7D گندم، روش بسیار مناسبی جهت طراحی آغازگرهای مناسب برای تکثیر قطعاتی از آن به عنوان نشانگرهای مولکولی کاملاً پیوسته با این ژن بوجود آورد (Lagudah *et al.*, 2009; Dakouri *et al.*, 2010). جهت بررسی دقیق‌تر حضور آلل مقاومت ژن $Lr34$ در ژنوتیپ‌های گندم مورد بررسی، از نشانگرهای مولکولی $cam23$, $cam8$, $cam2$, $cam1$, $Cs5fr5$, $Cs5fr2$, $Cs5fr1$ و $caIND11$ و $caSNP12$ ، $caSNP4$ که بر مبنای پلی‌مورفیسم موجود در اگزون ۱۱ در ژن $Lr34$ طراحی شده‌اند (Lagudah *et al.*, 2009) استفاده شد. با استفاده از نشانگر $Cs5fr1$ قطعه‌ای با اندازه ۵۱۷ bp که به صورت اختصاصی بیانگر وجود آلل مؤثر $Lr34^+$ است، تکثیر شد (شکل ۲). این نشانگر یک نشانگر غالب بوده و در ژنوتیپ‌هایی که فاقد آلل مؤثر مقاومت بودند، هیچ‌گونه قطعه‌ای در محصولات PCR تکثیر نشد (شکل ۲). در این تحقیق از ۸۵ لاین و رقم گندم مورد ارزیابی، ۲۲ ژنوتیپ دارای آلل ۵۱۷ بازی بوده و سایر ژنوتیپ‌ها دارای آلل نول بودند (جدول ۱). حضور آلل‌های $Lr34^+$ در نشانگرهای STS-csLV34 و $Cs5fr1$ دارای همبستگی خوبی بود و در اکثر موارد، غیر از چند

همساز (کلون) و توالی یابی اولیه ژن $Lr34$ در ارقام مقاوم و حساس نشان داد که دو پلی‌مورفیسم تک نوکلئوتیدی در اینترون ۴ و اگزون ۱۲ و یک قطعه حذف شده سه نوکلئوتیدی در اگزون ۱۱ ژن $Lr34$ در بین این ارقام مشاهده شد (Krattinger *et al.*, 2009). کلون کردن ژن $Lr34$ و توالی‌یابی ترتیب نوکلئوتیدی آن روی کروموزوم 7D گندم، روش بسیار مناسبی جهت طراحی آغازگرهای مناسب برای تکثیر قطعاتی از آن به عنوان نشانگرهای مولکولی کاملاً پیوسته با این ژن بوجود آورد (Lagudah *et al.*, 2009; Dakouri *et al.*, 2010). جهت بررسی دقیق‌تر حضور آلل مقاومت ژن $Lr34$ در ژنوتیپ‌های گندم مورد بررسی، از نشانگرهای مولکولی $cam23$, $cam8$, $cam2$, $cam1$, $Cs5fr5$, $Cs5fr2$, $Cs5fr1$

حضور آلل های مرتبط با ژن *Lr34* در ژنوتیپ ها مشاهده شد.

استثنا شامل ژنوتیپ های شماره ۳۲، ۳۳ و ۴۱ (جدول ۱)، همبستگی کاملی در نتایج حضور یا عدم



شکل ۲- باندهای تکثیر شده توسط نشانگر *Cssfr1* حاصل از الکتروفورز مربوط به تعدادی از ارقام و لاین های گندم مورد بررسی. M: مارکر وزنی ۱۰۰ bp و باندهایی که با پیکان نشان داده شده اند، بیانگر آلل مؤثر *Lr34*⁺ (۵۱۷ bp) هستند

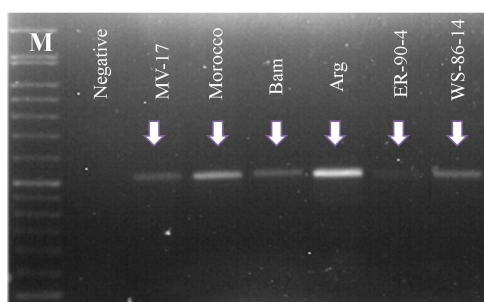
Fig. 2. Gel electrophoresis of DNA bands amplified using *Cssfr1* marker in some of the studied wheat cultivars/lines. M: 100 bp molecular-weight size marker and amplified DNA bands for *Lr34*⁺ (517 bp) are indicated by arrows

زنجیره ای پلیمرز در آزمایش حاضر با واکنش زنجیره ای پلیمرز انجام شده توسط معرفی کنندگان پرایمر *Cssfr2*، استفاده از روش واکنش زنجیره ای پلیمرز با شروع داغ (Hot start PCR) بود که یک روش تغییر یافته است که با غیر فعال کردن آنزیم DNA پلیمرز در درجه حرارت های پایین تر از تکثیر باندهای غیر اختصاصی جلوگیری می کند. وجود باندهای کم رنگ در شکل ۳ می تواند دلالت بر اتصال غیر اختصاصی این پرایمر در ناحیه تکثیر نشانگر داشته باشد. بهر حال با توجه به محدود بودن منابع مالی پروژه و قیمت بسیار زیاد آنزیم HotStar Taq polymerase نسبت به آنزیم Taq polymerase معمولی، در این تحقیق از آنزیم معمولی استفاده شد که نتایج بدست آمده رضایت بخش نبود. این نتایج نشان می دهند که استفاده از این نشانگر مولکولی برای بررسی حضور ژن *Lr34* در آزمایشگاه هایی با امکانات محدود دارای نتایج روشنی نبوده و در تحقیقات آینده استفاده از این نشانگر در آزمایشگاه های مولکولی با امکانات اولیه پیشنهاد نمی شود.

نشانگر *Cssfr2* نیز یک نشانگر غالب بوده که توسط لاگودا و همکاران (Lagudah *et al.*, 2009) معرفی شده است و به صورت اختصاصی با تکثیر قطعه ای با اندازه ۵۲۳ bp، بیانگر وجود آلل مؤثر *Lr34*⁻ بوده و عدم تشکیل این باند، نشان دهنده وجود آلل مؤثر مقاومت است. نتایج آزمون حضور ژن *Lr34* با این نشانگر نشان داد که باند ۵۲۳ bp در کلیه ارقام و لاین های مورد بررسی و همچنین رقم کنترل مثبت آزمایش (رقم مقاوم MV17) وجود داشت (شکل ۳)، در صورتی که این باند نشان دهنده آلل مرتبط با حساسیت بوده و باید فقط در ارقام و لاین های حساس دیده می شد. با تکرار آزمایش، نتایج مشابهی بدست آمد و قطعه ۵۲۳ بازی مجددا در کلیه ژنوتیپ ها تکثیر گردید. این موضوع می تواند به کیفیت مواد مورد استفاده در واکنش زنجیره ای پلیمرز، استفاده از دستگاه بسیار دقیق تفکیک کننده قطعات DNA (ABI DNA Analyzer) توسط محققان معرفی کننده این آغازگر (Lagudah *et al.*, 2009) و یا عدم تکرار پذیری این نشانگر مربوط باشد. یکی از اختلاف های عمده در مورد نحوه اجرای واکنش

بر پلی مورفیسم مشاهده شده در اینترون ۴ و اگزون ۱۲ و جهش سه نوکلئوتیدی در اگزون ۲۲، یک جهش دیگر در اگزون ۱۰ ژن *Lr34* را که فقط در ژنوتیپ‌های حساس دیده می‌شود، شناسایی کردند. این محققان غیر از چهار هاپلوتایپ معرفی شده برای نشانگرهای اختصاصی ژن *Lr34*، یک هاپلوتایپ جدید را نیز برای شناسایی حضور این ژن معرفی نمودند. در این هاپلوتایپ، علی‌رغم حذف قطعه سه نوکلئوتیدی در اگزون ۱۱ که ظاهراً باید نشان دهنده وجود ژن *Lr34* باشد، ژنوتیپ‌هایی با فنوتیپ حساس مشاهده شدند. بر مبنای این یافته‌های جدید و مشاهدات دقیق‌تر در توالی ژنومی ژن *Lr34* و نقاط مجاور این ژن، داکوری و همکاران (Dakouri et al., 2010) ۱۰ نشانگر جدید را برای شناسایی ژن *Lr34* معرفی کردند. باید خاطر نشان کرد که این محققان این نشانگرها را بر مبنای تفکیک باندهای DNA در دستگاه ABI 3130x1 که قابلیت تمایز باندهایی با اختلاف اندازه حتی دو جفت باز را در قطعات حاصل از PCR دارد، معرفی کرده‌اند. با توجه به اینکه اختلاف اندازه بین آلل‌های نشان دهنده مقاومت و آلل‌های نشان دهنده حساسیت در این نشانگرها در اکثر موارد بسیار کم است، با سیستم‌های الکتروفورز ژل آگارز و پلی‌اکریل‌آمید، در بیشتر مواقع

نشانگر *Cssfr5* همانند دو نشانگر *Cssfr1* و *Cssfr2* بر مبنای پلی مورفیسم موجود در اگزون ۱۱ توسعه یافته است. این نشانگر یک نشانگر هم‌بارز بوده که از ترکیب آغازگرهای L34SPF/L34DINT13R2 و L34DINT9F/L34MINUSR بدست می‌آید. محصولات واکنش زنجیره‌ای پلیمرز با دو اندازه ۷۵۱bp (*Lr34+*) و ۵۱۷bp (*Lr34-*) روی ژل آگارز دو درصد قابل تفکیک هستند (Lagudah et al., 2009). در تحقیق حاضر از روش پی سی آر چند گانه (Multiplex PCR) که منجر به تکثیر آلل‌های نشانگر *Cssfr5* مرتبط با مقاومت به *Lr34* می‌گردد نیز استفاده شد، اما با وجود چند مرتبه تکرار پی سی آر، هیچ‌گونه باند نشان دهنده مقاومت یا حساسیت در ارقام کنترل مثبت و منفی مشاهده نشد. عدم تکثیر باندهای مورد انتظار در نشانگر *Cssfr5* در این تحقیق نیز می‌تواند به کیفیت مواد مورد استفاده در واکنش زنجیره‌ای پلیمرز و یا عدم تکرارپذیری این نشانگر مربوط باشد. بهر حال، براساس نتایج بدست آمده توصیه می‌شود که همانند نشانگر *Cssfr2* برای بررسی حضور ژن *Lr34* در ژنوتیپ‌های گندم در آزمایشگاه‌هایی با امکانات اولیه، از این نشانگر استفاده نشود. داکوری و همکاران (Dakouri et al., 2010) علاوه



شکل ۳- باندهای تکثیر شده توسط نشانگر *Cssfr2* حاصل از الکتروفورز برای تعدادی از ارقام و لاین‌های گندم مورد بررسی. M: مارکر وزنی ۵۰ bp و باندهایی که با پیکان نشان داده شده‌اند، بیانگر آلل *Lr34-* (۵۲۳ bp) هستند

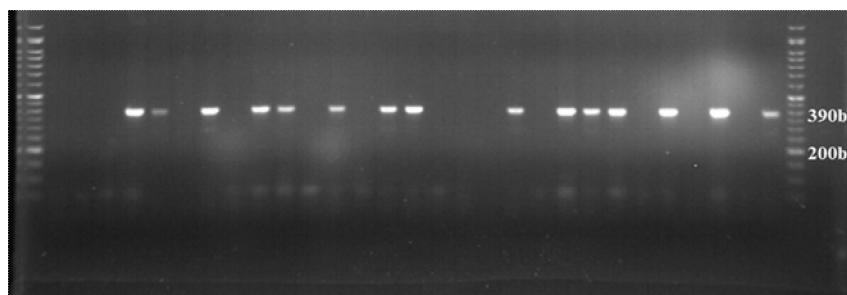
Fig. 3. Gel electrophoresis of DNA bands amplified using *Cssfr2* marker in some of the studied wheat cultivars/lines. M: 50 bp molecular-weight size marker and amplified DNA bands for *Lr34-*

(523 bp) are indicated by arrows

PCR نشانگرهای caSNP12 و caSNP4 در صورت وجود ژن مقاومت، به ترتیب دارای قطعه‌ای به اندازه ۳۹۰ و ۲۳۴ bp در الکتروفورز ژل آگارز ۱/۵ درصد بوده و در صورت عدم وجود ژن، هیچ قطعه‌ای در هر دو نشانگر تکثیر نمی‌شود (Dakouri *et al.*, 2010). در تحقیق حاضر از این دو نشانگر برای ردیابی ژن *Lr34* در ژنوتیپ‌های گندم استفاده شد. نتایج نشان داد که باندهای واضح و روشنی با استفاده از هر دو نشانگر بدست آمد که نمره‌دهی آن‌ها براساس اندازه باند مورد انتظار بسیار ساده بود (شکل ۴ و شکل ۵). نتایج همچنین حاکی از آن بود که همبستگی کاملی بین این دو نشانگر وجود داشت و با استفاده از هر دو نشانگر caSNP4 و caSNP12، ۱۸ لاین و رقم دارای آلل‌های مرتبط با لینکاژ ژنی با ژن *Lr34* بودند (جدول ۱). نتایج حاصل از این نشانگرها دارای همپوشانی بالایی با نشانگرهای STS-csLV34 و Ccssfr1 بود و همه ۱۸ ژنوتیپی که با این نشانگرها به عنوان حامل ژن *Lr34* شناسایی شدند، با استفاده از دو نشانگر STS-csLV34 و Ccssfr1 نیز به عنوان ژنوتیپ‌های *Lr34*⁺ شناخته شده بودند. بهر حال با توجه به محل استقرار نشانگر caSNP4 و caSNP12 روی ژن کدکننده پروتئین انتقال دهنده غشایی ABC، برای بررسی حضور ژن *Lr34* با استفاده از این نشانگرها اطمینان بیشتری حاصل می‌شود.

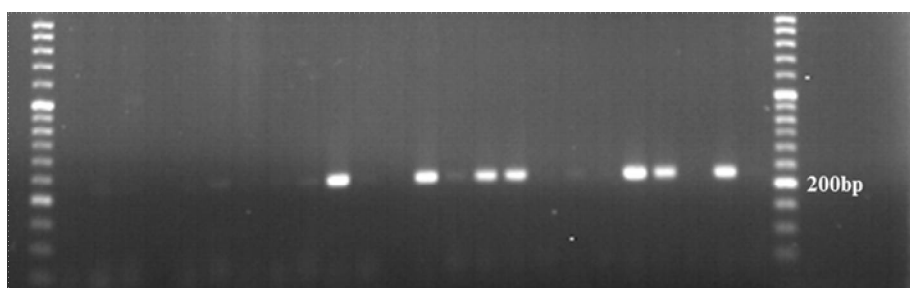
تمایز فاصله بین آلل‌ها در این سیستم‌های الکتروفورزی به سختی امکان پذیر است، با این وجود بر اساس وجود نشانگرهای بارز (وجود آلل مثبت و آلل نول) و نشانگرهای همبارز (اختلاف در اندازه باندهای تولید شده) به ترتیب از سیستم‌های الکتروفورزی ژل آگارز و پلی‌اکریل‌آمید برای جداسازی محصولات حاصل از نشانگرهای مولکولی جدید شامل cam1، cam2، cam8، cam11، cam23، caIND11 استفاده شد. با توجه به تفاوت بسیار کم اندازه قطعات تکثیرشده توسط این نشانگرها در ژنوتیپ‌های مختلف نتایج قابل قبولی از این بررسی‌ها بدست نیامد و مشخص شد که تمایز باندهای ظاهر شده از یکدیگر در سیستم الکتروفورزی ژل آگارز و پلی‌اکریل‌آمید میسر نیست. بر اساس این نتایج پیشنهاد می‌شود که از نشانگرهای فوق برای تشخیص ژن *Lr34* در آزمایشگاه‌هایی با امکانات محدود استفاده نشود.

نشانگرهای caSNP4 و caSNP12 از گروه نشانگرهای SNP بوده و از جمله جدیدترین و دقیق‌ترین نشانگرهای مولکولی شناخته شده برای ردیابی ژن *Lr34* به شمار می‌روند (Dakouri *et al.*, 2010). علاوه بر لینکاژ بالایی که بین این دو نشانگر و ژن مورد نظر وجود دارد، کاربرد آسان و کم هزینه آن‌ها از مهم‌ترین مزیت‌های این نشانگرها به شمار می‌رود. محصولات



شکل ۴- باندهای تکثیر شده توسط نشانگر caSNP4 حاصل از الکتروفورز برای تعدادی از ارقام و لاین‌های گندم مورد بررسی. M: مارکر وزنی ۵۰bp است

Fig. 4. Gel electrophoresis of amplified products using caSNP4 marker in some of the studied wheat cultivars/lines. M: 50 bp molecular weight size marker



شکل ۵- باندهای تکثیر شده توسط نشانگر caSNP12 حاصل از الکتروفورز برای تعدادی از ارقام و لاین‌های گندم مورد بررسی. M: مارکر وزنی 50 bp است

Fig. 5. Gel electrophoresis of amplified products using caSNP12 marker in some of the studied wheat cultivars/lines. M: 50 bp molecular weight size marker

آلل‌های مرتبط با مقاومت در نشانگرهای caSNP4 و caSNP12، این لاین‌ها با احتمال زیاد فاقد ژن *Lr34* هستند.

مقایسه نتایج آزمایش مزرعه‌ای با آزمایشات مولکولی نشان می‌دهد که اکثر ژنوتیپ‌های واجد ژن *Lr34* دارای واکنش‌های از نوع مصون، مقاوم و نیمه مقاوم تا نیمه حساس با شدت کم نسبت به زنگ‌های زرد و قهوه‌ای می‌باشند و در هیچ موردی واکنش حساس دیده نشد (جدول ۱). بیشترین شدت آلودگی زنگ قهوه‌ای در ژنوتیپ‌های واجد ژن *Lr34* در لاین ER-C-90-9 با واکنش 70MS در خزانه بیماری‌های ایستگاه اهواز و بیشترین شدت آلودگی زنگ زرد در ژنوتیپ‌های واجد ژن *Lr34* در رقم داراب ۲ با واکنش 60MS در خزانه بیماری‌های کرج مشاهده شد.

از بین ارقام و لاین‌های واجد ژن *Lr34* در این تحقیق تنها رقم داراب ۲ واکنش نیمه حساس 60MS نسبت به زنگ زرد در شرایط مزرعه‌ای را نشان داد، ولی این رقم واکنش مصون نسبت به زنگ قهوه‌ای داشت. در شرایط آلودگی مصنوعی مزرعه، واکنش نیمه حساس با شدت بالای بیماری نسبت به زنگ زرد و قهوه‌ای، حتی در ژنوتیپ‌هایی که واجد ژن‌های مقاومت گیاه کامل بودند، دیده شد. رایبالز و نیکز (Rubiales and Niks, 1995) گزارش کردند که حتی در

در تحقیق حاضر از میان ارقام تجاری گندم، ارقام زارع، داراب ۲، بم، سیستان و MV17 با استفاده از نشانگرهای *caSNP12*، *caSNP4*، *csLV34* و *CsSfr1* واجد آلل‌های شناخته شده و پیوسته با مقاومت به زنگ قهوه‌ای بودند. رقم ارگ تنها با استفاده از نشانگرهای *csLV34* و *CsSfr1* واجد آلل‌های شناخته شده مرتبط با مقاومت بود و با توجه به عدم تکثیر آلل‌های نشانگرهای *caSNP12* و *caSNP4* که نزدیک‌ترین نشانگرها به ژن *Lr34* بودند، با احتمال زیاد فاقد این ژن می‌باشد. نتایج این تحقیق نشان داد که ارقام گندم میهن، چمران، فلات، پارسی، سیوند، سیروان، پیشتاز، مروارید، مغان ۳، شیرودی، شیراز و اروم، ارقام خارجی سویسون، گاسکوژن، گاسپارد و باز و رقم محلی سرخ تخم، فاقد ژن *Lr34* هستند. در بین لاین‌های امیدبخش اقلیم‌های سرد و معتدل گندم، سه لاین در اقلیم معتدل، هفت لاین از برنامه شوری اقلیم معتدل و سه لاین در اقلیم سرد کشور با استفاده از نشانگرهای *csLV34*، *caSNP4*، *caSNP12* و *CsSfr1* واجد آلل‌های شناخته شده و پیوسته با مقاومت به زنگ قهوه‌ای بودند (جدول ۱). سه لاین امیدبخش دیگر در برنامه شوری اقلیم معتدل واجد آلل‌های شناخته شده مرتبط با مقاومت تنها در نشانگرهای *csLV34* و *CsSfr1* بودند. همانطوری که قبلاً هم اشاره شد، با توجه به عدم تکثیر

اطلاعات بسیار دقیق تری از حضور این ژن ارائه می کنند بزودی جایگزین نشانگرهای قدیمی خواهند شد (McCallum *et al.*, 2012). در این تحقیق از میان تعداد زیادی از نشانگرهای معرفی شده جدید که اکثرا در آزمایشگاه‌های مجهز مراکز تحقیقاتی کشورهای پیشرفته دنیا توسعه یافته‌اند، سه نشانگر جدید *caSNP4*، *caSNP12* و *CsSfr1* که در سیستم‌های رایج آزمایشگاه‌هایی با امکانات محدود از قبیل تانک الکتروفورز افقی و عمودی و سیستم رنگ آمیزی معمول اتیدیوم بروماید با سهولت قابل تکثیر و ردیابی هستند و همچنین احتمال نوترکیبی بین آن‌ها و ژن *Lr34* بسیار نادر است، برای بررسی‌های حضور ژن *Lr34* پیشنهاد می‌شوند. با توجه به این که موقعیت مکانی ژن *Lr34* دقیقا در بین دو نشانگر *caSNP4* و *caSNP12* قرار دارد، بهترین ترکیب برای اطمینان از حضور این ژن، مشاهده باندهای مرتبط با مقاومت (به ترتیب دارای قطعه‌هایی به اندازه 390 bp و 234 bp) در هر دو نشانگر می‌باشد. بهر حال، استفاده از نشانگرهای *csLV34* و *CsSfr1* به همراه دو نشانگر SNP و هاپلوتایپ حاصل می‌تواند اطمینان بیشتری را از حضور ژن *Lr34* داشته باشد. با استفاده از این هاپلوتایپ هر گونه مشکلی که ناشی از خطاهای آزمایشی در PCR و بارگذاری در ژل آگاروز و الکتروفورز در مورد دو نشانگر SNP باشد، قابل ردگیری، شناسایی و تکرار آزمایش می‌باشد. شناسایی حضور ژن *Lr34* در ارقام تجاری، لاین‌های امیدبخش و لاین‌های در حال معرفی گندم نان می‌تواند ابزار مفیدی برای تلاقی‌های هدفمند و انتقال و ردگیری این ژن در لاین‌های اصلاحی باشد تا در برنامه‌های اصلاحی جهت رسیدن به مقاومت پایدار ارقام از آن استفاده شود. نتایج تحقیق حاضر اطلاعات قابل توجهی را در ارتباط با نحوه انتخاب والدین تلاقی‌ها برای انتقال مؤثر ژن *Lr34* در برنامه به نژادگان اقلیم‌های سرد و معتدل کشور را در اختیار به نژادگران قرار می‌دهد. تلفیق مقاومت ناشی از این ژن با

ژنوتیپ‌هایی با ژن *Lr34*، دامنه وسیعی از واکنش نسبت به قارچ عامل زنگ قهوه‌ای، از واکنش نزدیک به حساس با جوش‌هایی که در منطقه پایین برگ ظاهر می‌شوند تا لکه‌های بسیار ریز (flecks) در منطقه نوک برگ دیده می‌شود. ذاکری و همکاران (Zakeri *et al.*, 2014) اظهار نمودند که واکنش رقم داراب ۲ نسبت به زنگ زرد در شرایط مزرعه‌ای واکنش نیمه حساس 70MS بود، با این وجود بر اساس نسبت‌های ژنتیکی به دست آمده از واکنش جمعیت F_3 حاصل از تلاقی رقم داراب ۲ و رقم حساس Avocet S نسبت به زنگ زرد در شرایط مزرعه‌ای، گزارش شد که بر اساس آزمون همگنی مربع کای، نسبت‌های پیش بینی شده ۱ (مقاوم تفرق نیافته)، ۲ (مقاوم تفرق یافته) و ۱ (حساس تفرق نیافته) در جمعیت، دلالت بر وجود یک ژن غالب مقاومت به زنگ زرد در مرحله گیاه کامل در رقم داراب ۲ دارد.

با توجه به این که وجود ژن *Lr34* باعث القای مقاومت جزئی در ژنوتیپ‌های گندم می‌شود، واکنش‌های مصون و مقاوم تعدادی از ژنوتیپ‌ها می‌تواند به حضور ژن‌های مقاومت دیگر در ژنوم آن‌ها مربوط باشد. در تحقیق انجام شده توسط صفوی و افشاری (Safavi and Afshari, 2014)، لاین ER-90-12 یکی از دو لاین با واکنش مقاوم (R) در بین بیست ژنوتیپ مورد آزمایش بود که مقاومت بسیار بالایی نسبت به زنگ زرد در مرحله گیاه کامل نشان داد. در تحقیق حاضر لاین ER-90-12 یکی از لاین‌هایی بود که بر اساس ارزیابی مولکولی واجد ژن *Lr34* بود. مقاومت مزرعه‌ای نسبت به زنگ زرد در این لاین می‌تواند با حضور ژن *Lr34* که مقاومت به زنگ زرد را نیز در مرحله گیاه کامل را کنترل می‌کند، مرتبط باشد.

اگرچه تا کنون برای ارزیابی حضور ژن *Lr34* در ژنوتیپ‌های گندم در سراسر دنیا از نشانگر *csLV34* بیشترین استفاده انجام گرفته است، پیش بینی می‌شود که نشانگرهای مبتنی بر توالی ژن *Lr34* که

همچنین می‌تواند کمک مؤثری به هر می کردن ژن‌هایی با اثرات کوچک و اثرات بزرگ در زمینه ژنتیکی ارقام و لاین‌های گندم در کشور نماید. نتایج حاصل از این تحقیق به به‌نژاد گران گندم کشور این امکان را خواهد داد تا با بررسی مقاومت ژنوتیپ‌های مورد مطالعه در کنار عملکرد آن‌ها، ابزار گزینشی دقیق‌تری برای انتخاب نهایی و معرفی ارقام جدید گندم در اختیار داشته باشند.

مقاومت‌های ناشی از ژن‌های بزرگ اثر می‌تواند موجب مقاومت بیشتر ارقام گندم نسبت به کلیه زنگ‌ها شود. هیبرت و همکاران (Hiebert *et al.*, 2011) اظهار نمودند که ترکیب ژن *SrCad* و *Lr34* در ژنوتیپ‌های گندم باعث مقاومت بسیار بالا در مقابل نژاد زنگ سیاه Ug99 می‌شود، در صورتی که در غیاب ژن *Lr34* تنها سطح متوسطی از مقاومت در ژنوتیپ‌های حامل ژن *SrCad* مشاهده شد. اطلاعات بدست آمده از این تحقیق

References

منابع مورد استفاده

- Caldwell, R. M. 1968. Breeding for general and/or specific plant disease resistance. pp 263–272. In: Findlay, K.W. and K.W. Shepherd (Eds.). Proceedings of the 3rd international wheat genetics symposium. Australian Academy of Science, August 5-9, Canberra, Australia.
- Dadrezai, S. T., K. Nazari, F. Afshari and E. Mohammadi Goltapeh. 2013. Phenotypic and molecular characterization of wheat leaf rust resistance gene *Lr34* in Iranian wheat cultivars and advanced lines. AJPS 4(9): 1821–1833.
- Dakouri, A., B. McCallum, A. Walichnowski and S. Cloutier. 2010. Fine-mapping of the leaf rust *Lr34* locus in *Triticum aestivum* (L.) and characterization of large germplasm collections support the ABC transporter as essential for gene function. Theor. Appl. Genet. 121: 373–384.
- Dyck, P. L. 1987. The association of a gene for leaf rust resistance with the chromosome 7D suppressor of stem rust resistance in common wheat. Genome, 29: 467–469.
- Herrera-Foessel, S. A., E. S., Lagudah, J., Huerta-Espino, M. J., Hayden, H. S., Bariana, D., Singh and R. P., Singh. 2011. New slow rusting leaf rust and stripe rust resistance genes *Lr67* and *Yr46* in wheat are pleiotropic or closely linked. Theor. Appl. Genet. 122: 239–249.
- Hiebert, C. W., J. B., Thomas, B. D., McCallum, D. G., Humphreys, R. M., DePauw, M. J., Hayden, R., Mago, W., Schnippenkoetter and W., Spielmeier. 2010. An introgression on wheat chromosome 4DL in RL6077 (Thatcher*6/PI 250413) confers adult plant resistance to stripe rust and leaf rust (*Lr67*). Theor. Appl. Genet. 121: 1083–1091.
- Hiebert, C. W., T. G. Fetch, T. Zegeye, J. B. Thomas, D. J. Somers, D. G. Humphreys, B. D. McCallum, S. Cloutier, D. Singh and D. R. Knott. 2011. Genetics and mapping of seedling resistance to Ug99 stem rust in Canadian wheat cultivars 'Peace' and 'AC Cadillac'. Theor. Appl. Genet. 122: 143–149.
- Kolmer, J. A., R. P. Singh, D. F. Garvin, L. Viccars, H. M. William, J. Huerta-Espino, F. C. Ogonnaya, H. Raman, S. Orford, H. S. Bariana and E. S. Lagudah. 2008. Analysis of the *Lr34/Yr18* rust resistance

region in wheat germplasm. *Crop. Sci.* 48: 1841–1852.

- Krattinger, S. G., E. S. Lagudah, W. Spielmeier, R. P. Singh, J. Huerta-Espino, H. McFadden, E. Bossolini, L. L. Selter and B. Keller. 2009.** A putative ABC transporter confers durable resistance to multiple fungal pathogens in wheat. *Science*, 323: 1360–1363.
- Lagudah, E. S., H. McFadden, R. P. Singh, J. Huerta-Espino, H. S. Bariana and W. Spielmeier. 2006.** Molecular genetic characterisation of the *Lr34/Yr18* slow rusting resistance gene region in wheat. *Theor. Appl. Genet.* 114: 21–30.
- Lagudah, E. S., S. G. Krattinger, S. A. Herrera-Foesse, R. P. Singh, J. Huerta-Espino, W. Spielmeier, G. Brown-Guedira, L. L. Selter and B. Keller. 2009.** Gene-specific markers for the wheat gene *Lr34/Yr18/Pm38* which confers resistance to multiple fungal pathogens. *Theor. Appl. Genet.* 119: 889–898.
- Lowe, I., D. Cantu and J. Dubcovsky. 2011.** Durable resistance to the wheat rusts: Integrating systems biology and traditional phenotype-based research methods to guide the deployment of resistance genes. *Euphytica*, 179(1): 69–79.
- McCallum, B. D., D. J. Somers, D. G. Humphreys and S. Cloutier. 2008.** Molecular marker analysis of *Lr34* in Canada western red spring wheat cultivars. p. 137. *In: Proceedings of 11th International Wheat Genetics Symposium, Brisbane, Australia, 24–29 Aug, 2008.*
- McCallum, B. D., C. Hiebert, J. Huerta-Espino and S. Cloutier. 2012.** Wheat leaf rust. p 33–62. *In: Sharma, I., (Ed.) Disease resistance in wheat. CAB International, Wallingford.*
- McIntosh, R. A., Y. Yamazaki, J. Dubcovsky, J. Rogers, C. Morris, D. J. Somers, R. Appels and K. M. Devos. 2008.** Catalogue of gene symbols for wheat. p. 1–59. *In: Appels et al., (Eds.), Proceedings of the 11th International Wheat Genetics Symposium, 235. 24–29 August 2008. Brisbane, QLD. Australia.*
- Peterson, R. F., A. B. Campbell and A. E. Hannah. 1948.** A diagrammatic scale for estimating rust intensity of leaves and stems of cereals. *Can. J. Res.* 26: 496–500.
- Rubiales, D. and R. E. Nicks. 1995.** Characterization of *Lr34*, a major gene conferring nonhypersensitive resistance to wheat leaf rust. *Plant Dis.* 79: 1208–1212.
- Safavi, S. A. and F. Afshari. 2014.** Seedling and adult plant reaction of some promising wheat lines to yellow rust. *Iran. J. Pl. Pathol. Sci.* 45(2): 241–250. (In Persian with English abstract).
- Saghai-Marooif, M. A., K. M. Soliman, R. A. Jorgensen and R. W. Allard. 1984.** Ribosomal DNA sepaer-length polymorphism in barley: Mendelian inheritance, chromosomal location and population dynamics. *Proc. Nat. Ac. Sci. USA.* 81: 8014–8019.
- Singh, R. P. and S. Rajaram. 1992.** Genetics of adult-plant resistance to leaf rust in ‘Frontana’ and three CIMMYT wheats. *Genome*, 35: 24–31.
- Singh, R. P., A. Kazi-Mujeeb and J. Huerta-Espino. 1998.** *Lr46*: a gene conferring slow rusting resistance to leaf rust in wheat. *Phytopathology*, 88: 890–894.

- Singh, R. P., J. Huerta-Espino and S. Rajaram. 2000.** Achieving near-immunity to leaf and stripe rusts in wheat by combining slow rusting resistance genes. *Acta Phytopathologica Hungarica*, 35: 133–139.
- Singh, R. P., J. Huerta-Espino, S. Bhavani, S. A. Herrera-Foessel, D. Singh, P. K. Singh, G. Velu, R. E. Mason, Y. Jin, P. Njau and J. Crossa. 2011.** Race non-specific resistance to rust diseases in CIMMYT spring wheats. *Euphytica*, 179: 175–186.
- Spielmeier, W., R. A. McIntosh, J. Kolmer and E. S. Lagudah. 2005.** Powdery mildew resistance and *Lr34/Yr18* genes for durable resistance to leaf and stripe rust cosegregate at a locus on the short arm of chromosome 7D of wheat. *Theor. Appl. Genet.* 111: 731-735.
- Torabi, M., V. Mardokhi, K. Nazari, F. Afshari, A. R. Forootan, M. A. Ramai, H. Golzar and A. S. Kashani. 1995.** Effectiveness of wheat yellow rust resistance genes in different part of Iran. *Cereal Rusts and Powdery Mildew Bulletin*, 23: 9–12.
- Torabi, M., K. Nazari and F. Afshari. 2001.** Genetics of pathogenicity of *Puccinia recondite* f. sp. *tritici*, the causal agent of leaf rust of wheat. *Iran. J. Agric. Sci.* 32(3): 625–635. (In Persian with English abstract).
- William, M., R. P. Singh, J. Huerta-Espino, S. Ortiz Islas and D. Hoisington. 2003.** Molecular marker mapping of leaf rust resistance gene *Lr46* and its association with stripe rust resistance gene *Yr29* in wheat. *Phytopathology*, 93: 153–159.
- Wu, L., X. Xia, H. Zhu, S. Li, Y. Zheng and Z. He. 2010.** Molecular characterization of *Lr34/Yr18/Pm38* in 273 CIMMYT wheat cultivars and lines using functional markers. *Sci. Agric. Sin.* 43: 4553–4561.
- Yang, E. N., G. M. Rosewarne, S. A. Herrera-Foessel, J. Huerta-Espino, Z. X. Tang, C. F. Sun, Z. L. Ren and R. P. Singh. 2013.** QTL analysis of the spring wheat “Chapio” identifies stable stripe rust resistance despite inter-continental genotype x environment interactions. *Theor. Appl. Genet.* 126(7): 1721–1732.
- Yu, L. X., H. Barbier, M. N. Rouse, S. Singh, R. P. Singh, S. Bhavani, J. Huerta-Espino and M. E. Sorrells. 2014.** A consensus map for Ug99 stem rust resistance loci in wheat. *Theor. Appl. Genet.* 127(7): 1561–1581.
- Zakeri, A., F. Afshari, S. Rajaei, M. Yassaie, A. Nikzad and F. Hassani. 2014.** Inheritance of resistance to stripe rust in several commercial cultivars and selected elite genotypes of wheat from Fars province. *Iran. J. Plant Pathol.* 50(2): 63–74. (In Persian with English abstract).

Identification of molecular markers linked to *Lr34/Yr18* gene and evaluation of resistance to leaf rust and yellow rust in wheat (*Triticum aestivum* L.) cultivars and promising lines

Ghazvini, H.¹, M. Sarhangi² and F. Afshari³

ABSTRACT

Ghazvini, H., M. Sarhangi and F. Afshari. 2018. Identification of molecular markers linked with *Lr34/Yr18* gene and evaluation of resistance to leaf rust and yellow rust in wheat (*Triticum aestivum* L.) cultivars and promising lines. **Iranian Journal of Crop Sciences. 19(2): 108-125. (In Persian).**

Leaf rust (*Puccinia triticina*) and yellow rust (*Puccinia striiformis*) are known as the most important and prevalent diseases of wheat worldwide, causing significant losses in the world's wheat production. Transfer of leaf and yellow rusts resistance genes to wheat cultivars is one of the most economical and effective methods to control of diseases. *Lr34/Yr18* is a resistance gene which confers a durable resistance to wheat leaf and yellow rusts. In the recent years, several molecular markers linked to *Lr34/Yr18* have been identified. In this experiment, presence of *Lr34/Yr18* in some Iranian wheat cultivars and promising lines was evaluated under field condition along with some recently developed molecular markers. Evaluation of plant resistance of wheat genotypes to yellow rust and leaf rust was conducted under artificial inoculation in disease nurseries of Cereal Research Department, SPII, Karaj and Golestan station in Ahvaz, Iran respectively, in 2014. Results of molecular assays indicated that three markers caSNP4, caSNP12 and Cssf1 predicted presence of *Lr34/Yr18* with more confidence compared to csLV34. These markers may be easily used in the genetic laboratories with limited equipments. Based on the results of caSNP4 and caSNP12 markers, from 85 wheat genotypes, 18 genotypes had linked alleles to *Lr34/Yr18* gene. Comparison of the field evaluation with results of molecular assay indicated that most of the wheat genotypes with *Lr34* gene had resistance and moderately resistant to moderately susceptible infection responses to leaf rust and yellow rust.

Key words: Adult plant resistance, Codominant marker, Marker assisted selection, Molecular breeding and Wheat.

Received: January, 2018 Accepted: July, 2018

1. Associate Prof., Seed and Plant Improvement Institute, Agricultural Research, Education and Extension Organization (AREEO), Karaj, Iran (Corresponding author) (Email: Habib_ghaz@yahoo.com)

2. Research Officer, Seed and Plant Improvement Institute, Agricultural Research, Education and Extension Organization (AREEO), Karaj, Iran

3. Professor, Seed and Plant Improvement Institute, Agricultural Research, Education and Extension Organization (AREEO), Karaj, Iran